

تحلیل تنش و کرنش‌های دینامیکی وارد بر سطح مشترک بین استخوان و ایمپلنت ران حین رفتن

چکیده

زمینه مطالعه: شل شدگی ایمپلنت از شایع‌ترین مشکلات پس از تعویض کامل مفصل ران است. در شل شدگی عوامل مهمی مانند مشخصات هندسی ایمپلنت، کیفیت بافت استخوانی، فرآیند جایگذاری، سن و سبک زندگی بیمار تأثیر دارند. هدف مطالعه حاضر تحلیل تنش و کرنش‌های دینامیکی وارد بر سطح مشترک بین استخوان و ایمپلنت در فازهای مختلف راه رفتن است.

روش‌ها: از یک مدل دو بعدی شامل استخوان ران و مفصل مصنوعی آن برای شبیه‌سازی عددی در نرم‌افزار ADINA به روش المان محدود استفاده شده است. مدول یانگ برای استخوان برابر ۱۲ و برای ایمپلنت از جنس فولاد ضدزنگ پژوهشی برابر ۲۱۰ گیگاپاسکال فرض شده است. در سطح مشترک بین استخوان و ایمپلنت ضربه اصطکاک برابر ۰/۲۲ در نظر گرفته شده و مدل، شرایط یک جراحی بدون سیمان استخوانی را شبیه‌سازی می‌کند. باز اعمالی به سر مفصل تعویض شده به صورت دینامیکی منطبق با سیکل راه رفتن طبیعی فردی با وزن ۷۵ کیلوگرم بوده است.

یافته‌ها: نتایج نشان دادند اختلاف کرنش در سطح مشترک در انتهای ساقه ایمپلنت بیشینه است. این متغیر همچنین در لبه داخلی ۱۶ برابر بیشتر از لبه خارجی است. مقدار اختلاف کرنش در سطح مشترک به حدود ۱/۶ درصد و بیشینه تنش به حدود ۵/۷ مگاپاسکال رسیده است.

نتیجه‌گیری: بیشترین مقدار اختلاف کرنش در پایین‌ترین منطقه ساقه ایمپلنت رخ داده که بیان کننده محل بروز احتمالی جدایش در شل شدگی ایمپلنت است. این اطلاعات می‌تواند در بکارگیری راهبردهای جراحی تعویض مفصل ران نیز برای طراحی‌های مکانیکی بهینه در مفصل مصنوعی مهم باشد.

واژه‌های کلیدی: تعویض کامل مفصل هیپ، شل شدن پروتز، شبیه سازی کامپیوترا، تحلیل المان محدود، راه رفتن.
دریافت مقاله: ۴ ماه قبل از چاپ؛ مراحل اصلاح و بازنگری: ۳ بار، پذیرش مقاله: ۱۰ روز قبل از چاپ

*دکتر محمد نجفی آشتیانی، **دکتر سید محسن مرتضوی نجف‌آبادی

مقدمه

* دانشکده علوم پزشکی، دانشگاه تربیت مدرس، تهران، ایران.

** دانشکده مهندسی مکانیک، دانشگاه تربیت مدرس، تهران، ایران.

راه رفتن یکی از اصلی‌ترین فعالیت‌های متدالو روزانه است که به فعالیت همزمان اجزای سیستم عصبی-اسکلتی-عضلانی وابسته است. در دستگاه اسکلتی، مفاصل با قرارگیری بین استخوان‌ها حرکت آسانی مانند روان‌کننده‌های مکانیکی را ایجاد می‌کنند. همچنین به عنوان جاذب انرژی، نقش مهمی در اتلاف انرژی‌های ناگهانی وارد به بدن دارند. مفصل ران یک مفصل «گوی و کاسه‌ای» است که از سر استخوان فمور و حفره استاتوبولوم تشکیل شده. مهمترین عارضه برای سطوح مفصلی بروز آرتروز است که عمدتاً به علت اعمال نیروهای فشاری زیاد و متناوب ناشی از راه رفتن، دویدن، تمرين‌ها و فعالیت‌های روزانه ایجاد می‌شود^(۱). در موارد حاد آرتروز، تماس بین سر استخوان ران و استخوان لگن در هر سیکل از بارگذاری تدریجی باعث تخریب لایه‌های سطحی استخوان و ایجاد درد می‌شود. در دهه‌های گذشته، درمان رایج تعویض کامل مفصل بوده است^(۲,۳) که نیاز به یک عمل جراحی نسبتاً پیچیده و سخت دارد. در این جراحی، قسمت فوقانی استخوان ران (سر و گردن فمور) و قسمت مرکزی شفت استخوان برداشته و ایمپلنت مناسب در حفره استخوان ران قرار می‌گیرد. این جراحی ممکن است با تزریق سیمان استخوانی بین حفره ایجاد شده و ایمپلنت همراه باشد. در طی سال ۲۰۱۸ میلادی حدود ۶۰۰ هزار عمل جراحی تعویض مفصل ران در ایالات متحده و بریتانیا انجام شده که نشان دهنده تعداد بالای استفاده از این روش است^(۴).

به دست آوردن الگوهای توزیع تنش مکانیکی^(۱) (نیرو تقسیم بر سطح اعمال آن) در مفصل ران تعویض شده نقش مهمی در طراحی ایمپلنت‌ها، پیش‌بینی مشکلات احتمالی مانند نیاز به عمل مجدد یا شل شدگی ایمپلنت دارد. اکثر مطالعات بر روی تشخیص رفتار مکانیکی مفصل ران در توزیع نیروهای مختلف، انواع کاشت، طراحی مکانیکی و یا پرداخت‌های مکانیکی حین فرآیند ساخت تمرکز داشته‌اند. برخی شکست‌های رایج در تعویض کامل مفصل ران به سطح مشترک بین استخوان و سیمان استخوانی نسبت داده شده است^(۵,۶). برای کاهش تمرکز تنش در مناطق بحرانی، با توجه به تنش موجود در لایه‌های سیمان استخوانی محاصره شده با ایمپلنت، از روش‌های مبتنی بر بهینه‌سازی نیز استفاده شده است^(۷,۸). کلیمان و همکاران، گزارش کردند که با تغییر در آنچه‌ورژن و آفست ایمپلنت

نویسنده مسئول:

Email:
mnahtiani@modares.ac.ir

1- Mechanical Stress i.e. force over the area.

ابتداً، تعریف هندسه محیط، سپس نسبت دادن خواص مواد به اجزای حاضر در محیط و تعریف شرایط مرزی در انتهای محدود محیط و گام نهایی حل مسئله خواهد بود.

مدل هندسی

از یک مدل دوبعدی استخوان ران با برش طولی در صفحه فرونتال استفاده شده است. سر و گردن استخوان ران و همچنین قسمتی از شفت استخوان نیز مطابق جراحی ارتودوکسی متداول در مدل بریده شده است (شکل ۱-الف). طرح دو بعدی ایمپلنت ران درون ساقه استخوانی به شکل قرار گرفته که فضای خالی ای بین دو بخش از مدل وجود نداشته باشد. این مطالعه جراحی تعویض مفصل ران بدون سیمان را شبیه سازی می کند. از نرم افزار CATIA V5 برای تهیه این مدل دوبعدی استفاده شده است.

خواص مواد

مواد به کار رفته در این شبیه سازی همگی از خاصیت الاستیک خطی برخوردارند. مدول الاستیک استخوان برابر با ۱۲ گیگا پاسکال، ضربی پوآسون آن برابر 0.38 ± 0.02 و چگالی نیز برابر 1.99 g/cm^3 بود. این مکعب بوده است. برای خاصیت مادة ایمپلنت مقدار نظری فولاد ضدزنگ پژشکی فرض شده است. از این رو، مدول الاستیک آن برابر با 210 GPa بود. ضربی پوآسون آن 0.30 ± 0.02 و چگالی آن نیز 7.6 g/cm^3 بود. این فرض شده، بدین معنا که در جهات مختلف خواص مواد یکسان است.

بارگذاری و شرایط مرزی

سطح پایینی مدل که شفت استخوان را در صفحه عرضی بریده است به طور کامل درگیر شده است و فاقد درجه آزادی حرکتی است. در مزر مشترک استخوان-ایمپلنت ضربی اصطکاک کولمب برابر با 0.22 N/mm^2 فرض شده تا تداعی کننده حالت پس از جراحی و پیش از استئوانتگریشن کامل (ضریب اصطکاک نظری برابر با بی نهایت) باشد.^(۲) شکل ۱-ب اعمال شرایط مکانیکی در سطح مشترک استخوان-ایمپلنت را نشان می دهد. بارگذاری مطابق با نیروهای طبیعی وارد در حین راه رفتن فردی با وزن تقریبی 75 kg بوده است (شکل ۲-الف) که بر سر ایمپلنت وارد شده است.^(۳) نیروی وارد به سر ایمپلنت که از حفره استابولوم منتقل شده است توزیع هندسی سهمی شکل مطابق شکل ۲-ب دارد تا هر چه بیشتر به شرایط طبیعی نزدیکتر باشد.

فرآیند حل در شبیه سازی

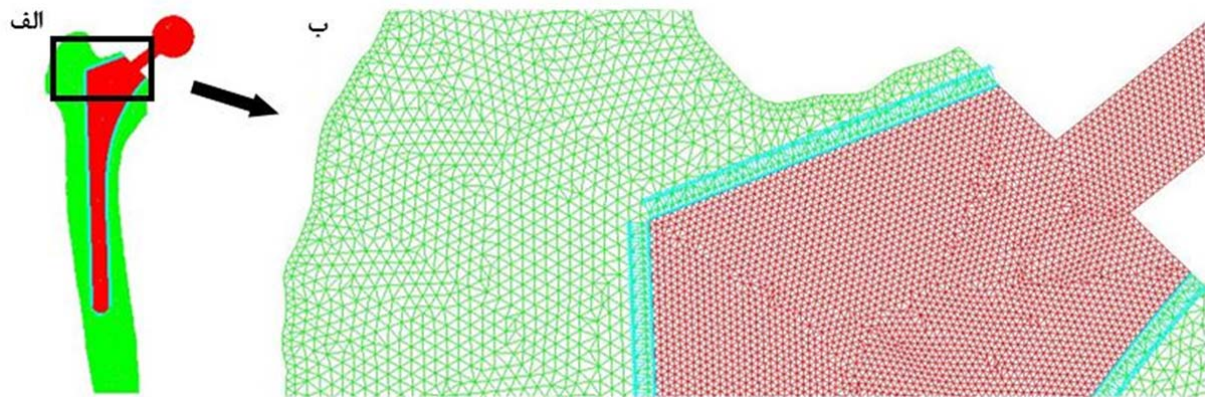
از روش المان محدود برای بدست آوردن توزیع تنش مکانیکی در مدل و تفاوت کرنش در سطح مشترک استخوان-ایمپلنت استفاده شده است. مدل دوبعدی به صورت تنش صفحه های (با فرض صفر بودن تنش عمود بر صفحه مدل) در نظر گرفته شده است.^(۴) مدل شامل ۱۳۳۷۰۵ گره و ۴۳۶۴۱ المان مثلثی شکل بوده که از این تعداد

ممکن است شرایط بحرانی در قسمت پروگریمال استخوان ران ایجاد شود.^(۵) به منظور تشخیص شل شدگی احتمالی مفصل تعویض شده ران با استفاده از ارتعاشات هارمونیک بر روی کندیل های استخوان ران و اندازه گیری پاسخ در تروکانتر بزرگ، رولندز و همکارانش، در سال ۲۰۰۸ از یک روش اولتراسونیک استفاده کردند.^(۶) انگوین و همکاران در سال ۲۰۱۹ با استفاده از تحلیل المان محدود اثر نوع بارگذاری بر شل شدگی کاب استابیولار را بررسی کردند و نشان دادند که بارگذاری های برشی، احتمال شل شدن را افزایش می دهند.^(۷) احتمال ایجاد سپر تنش در بافت استخوانی اطراف مفصل تعویض شده ران و احتمال شکست از ناحیه تروکانتری نیز نتیجه مطالعه المان محدود عبدالله و همکاران در سال ۲۰۱۷ بود که افتادن از کنار را شبیه سازی کردند.^(۸) چنان و همکاران در سال ۲۰۲۰ با استفاده از تحلیل المان محدود استاتیکی نشان دادند که مقطع بیضوی برای ساقه ایمپلنت ران در مقایسه با مقطع مدور و ذوزنقه ای به ایجاد تنش کمتری در بافت استخوان منتهی می شود.^(۹) مطالعه المان محدود اسماعیل و همکاران در سال ۲۰۱۸ نشان داد که سطح در تماس ایمپلنت با استخوان می تواند پایداری اولیه پس از جراحی را فراهم آورد. این پایداری، زمینه ای برای رسیدن به پایداری ثانویه و موفقیت کاشت ایمپلنت خواهد بود.^(۱۰)

موفقیت جراحی تعویض مفصل ران مستلزم تأمین پایداری اولیه مفصل است. مفهوم پایداری اولیه به درگیری مکانیکی بین ایمپلنت و استخوان پذیرنده آن برمی گردد. اگر مجموعه عوامل مؤثر در موفقیت جراحی در تأمین پایداری اولیه ناتوان باشد، امکان ایجاد پایداری ثانویه که به فرآیند استخوان سازی اطراف ایمپلنت وابسته است به حداقل خواهد رسید. شل شدگی ایمپلنت در تعویض مفصل ران یکی از مهمترین شاخص های عدم تأمین پایداری اولیه در کاشت ایمپلنت است. جایجایی نسبی ایمپلنت در بافت استخوانی پذیرنده باعث ناپایداری و ایجاد ریز حرکت در سطح مشترکی می شود که انتظار ایجاد پل های استخوانی توسط استئوبلاستها در آن به وجود آید. از این رو، هدف مطالعه حاضر بررسی اثر اعمال نیروهای دینامیکی ناشی از راه رفتن طبیعی انسان بر ایجاد و محل شل شدگی مفصل تعویض شده ران است.

مواد و روش ها

در این مطالعه از روش المان محدود برای بدست آوردن تنش و کرنش های مکانیکی حین بارگذاری راه رفتن طبیعی در استخوان، ایمپلنت و به ویژه سطح مشترک آنها استفاده شده است. این روش، مبتنی بر حل عددی معادلات دیفرانسیلی مکانیکی-فیزیکی در محیطی با مواد و هندسه تعریف شده است که با گسسته سازی هندسی به اجزای کوچکتری تقسیم شده اند. در واقع، معادلات مذکور ابتدا برای هر المان تشکیل و حل می شوند و سپس پیوستگی ساختاری نتیجه را در کل محیط ارائه خواهد کرد. از این رو، گام



شکل ۳ پاسخ وابسته به زمان مؤلفه افقی (خارجی-داخلی) تفاوت کرنش در دو سوی سطح استخوان-ایمپلنت را در لبه‌های خارجی و داخلی نشان می‌دهد. مقدار بیشینه اختلاف کرنش در لبهٔ داخلی ($1/6$ درصد کرنش) حدود ۱۶ برابر بیشینه همین متغیر در لبهٔ خارجی ($1/10$ درصد کرنش) است. بیشترین اختلاف کرنش در سطح، در پایین‌ترین منطقه سطح مشترک استخوان-ایمپلنت (مناطق ۳ و ۵ گروئن) رخ داده است و هر چه منطقه به سمت سر ایمپلنت نزدیک می‌شود، از مقدار اختلاف کرنش کاسته می‌شود. تغییرات اختلاف کرنش با درصدهای فاز استنس (stance phase) در همهٔ مناطق شبیه به هم و در لحظهٔ مید-استنس (mid-stance) در حدود ۲۵ درصد بیشینه است. قلهٔ دوم تغییرات اختلاف کرنش در لحظهٔ تو-آف (toe-off) در حدود ۸۵ درصد رخ داده است. توزیع کرنش و تنفس مکانیکی در برش دو بعدی مدل در شکل ۴ آمده است. در زمانی که بیشینه نیروی اعمالی در سیکل راه رفتن به

درصد به استخوان و مابقی به ایمپلنت متعلق بوده‌اند، فرآیند حل به طور کامل به صورت عددی توسط حل‌کننده ADINA انجام گرفته است.

یافته‌ها

پس از حل عددی، نقاطی بر روی سطح مشترک استخوان-ایمپلنت بر اساس سیستم شماره‌گذاری مناطق گروئن² علامت‌گذاری شد. برای ایجاد امکان مقایسهٔ مکانی نتایج، سه جفت نقطه بر روی سطح مشترک استخوان-ایمپلنت در دو لبهٔ خارجی و داخلی مجموعه مطابق شکل ۳ و در میانهٔ مناطق هفتگانه گروئن (به غیر از منطقهٔ⁴ نشانه‌گذاری شده است. در این نقاط تفاوت کرنش در دو سوی سطح مشترک به عنوان معیاری از شلشگی ایمپلنت تحت بارگذاری محاسبه شد.

2- Gruen Zone Numbering System.

بحث

برای کمی کردن مقدار شل شدگی ایمپلنت در مفصل تعویض شده ران، می توان به بررسی اختلاف کرنش ایجاد شده بین استخوان و ساقه ایمپلنت اتکا کرد. به بیان دیگر، تغییر شکل ایمپلنت مفصل ران با جنس فولاد ضدزنگ پزشکی نسبت به تغییر شکل بافت استخوان در مجاورت آن می تواند به عنوان معیاری از جدایی مطرح شود. اگر این اختلاف افزایش پاید به این معناست که دو ماده در مجاورت هم لزوما با هم تغییر شکل نمی یابند و این می تواند به جدایش و در نهایت شل شدگی منتهی شود. شکل ۴-الف این تفاوت را در لب داخلى به

مجموعه مورد تحلیل در لحظه مید استنس (حدود ۲۵ درصد) اعمال شده، بخش خارجی استخوان با کرنش فشاری (مقادیر مثبت کرنش) مواجه شده است؛ در حال که بخش داخلی استخوان تحت کرنش کششی قرار گرفته است. توزیع تنش فون مایزز (von Mises) که کمیتی همیشه مثبت است و به عنوان معیاری از تنش های مرکب استفاده می شود، در سطح استخوان-ایمپلنت افزایش قابل توجهی نسبت به محیط اطراف دارد. انتهای پایینی مدل نیز در گیر تنش فون-مایزز قابل توجهی شده است. بیشینه تنش در مدل به مقدار ۵/۷ مگاپاسکال رسیده است.

غضروف طبیعی در اثر راه رفتن در مفصل ران در مطالعه لی و همکاران در سال ۲۰۲۱، برابر با ۶/۵ مگاپاسکال محاسبه شده است^(۵). البته توجه به این نکته ضروری است که مدل المان محدود آنها اگرچه از بارگذاری دینامیک راه رفتن استفاده کرده ولی ساختار طبیعی غضروف مفصلی در ران را مورد بررسی قرار داده و تعویض مفصل در مدل سازی مطالعه نشده است^(۶).

از آنجایی که اختلاف کرنش در سطح مشترک تا حد قابل توجهی بالا است، می‌توان بر اساس منابع پیش‌بینی کرد که در تعداد تکرار بالا به شکست کاشت ایمپلنت منتهی گردد^(۷). به علاوه، شل‌شدگی بخش پایینی ساقه ایمپلنت در سطح با استخوان باعث می‌شود تا پیوستگی ساختاری مجموعه استخوان-ایمپلنت از بین برود و سهم بارگذاری در آن ناحیه به صفر میل کند. به عبارت دیگر، هنگامی که بواسطه مادی برای انتقال تنفس مکانیکی وجود نداشته باشد، پیش‌بینی می‌شود مقدار تنفس مکانیکی بر دیگر مناطق افزایش یابد و این روند جدایش رو به گسترش و فرازینده‌ای را به همراه آورد.

وقتی پا در موقعیت مید-استنس (حدود ۲۵ درصد استنس جایی که تحمل وزن پیشینه است) قرار گرفته، تنفس مکانیکی و اختلاف کرنش در سطح مشترک به علت تحمل بار به صورت طبیعی بالا رفته تا جایی که تنفس فون مایزز به ۵/۱ کیلوپاسکال اختلاف کرنش در سطح مشترک به ۱/۴ درصد رسیده است. در فاز اولیه سوینگ کاهش تنفس و اختلاف کرنش در سطح مشترک اتفاق افتاده که به دلیل کاهش بار اعمالی و مورد انتظار بوده است. به علاوه، مقادیر و توزیع کانتورهای تنفس در شکل ۴ نشان دهنده نوعی تمرکز تنفس در سطح مشترک استخوان-ایمپلنت هستند. تفاوت در مقدار مدول الاستیک دو ماده (ایمپلنت بیش از ۱۰ برابر سفت‌تر است) موجب دریافت سهم شار تنفس مکانیکی بیشتر در خود می‌شود و حالت سپر تنفس^(۸) ایجاد می‌کند. این اتفاق در قله‌های بارگذاری دینامیکی طی یک سیکل راه رفتن شدت بیشتری می‌گیرد که این نتیجه مطابق مطالعات پیشین بوده است^(۹). مطالعه المان محدود تودو در سال ۲۰۱۸، بر روی مفصل تعویض‌شده ران این توصیه را داشته که می‌توان با کاهش مدول الاستیک ایمپلنت از ایجاد شدن سپر تنفس و در نتیجه شل‌شدگی در ساقه ایمپلنت تا حدودی جلوگیری کرد^(۱۰).

مطالعه حاضر با محدودیت‌هایی روبرو بوده است. نخست، مدل‌سازی با فرض ساده‌سازی‌هایی انجام شده است که مهمترین آنها دو بعدی بودن مدل، فرض الاستیک خطی و همسانگردی مواد (عدم واپشتگی خواص مواد به جهات هندسی) بوده است. شیخ و همکاران در سال ۲۰۱۲، با مدل‌سازی بارگذاری روی پروتز ران نشان دادند دو بعدی بودن مدل با فرض تنفس‌های صفحه‌ای، در قیاس با لحاظ کردن مدل سه بعدی در شرایط یکسان می‌تواند تا حدود ۱۴ درصد خطای نتایج را کمتر از مقدار سه بعدی آنها به دست آورد. این مقدار خطای ناشی از هندسه به دلیل افزایش سفتی مدل دو بعدی (مادة بیشتر در ضخامت ثابت)

خوبی نشان می‌دهد. این نمودار دو قله بزرگ برای اختلاف کرنش در نقاط، به ویژه در مناطق انتهای ساقه (مناطق ۳ و ۵ گروئن) را نشان می‌دهد که در هر سیکل راه رفتن تکرار خواهد شد. در مناطق فوقانی (مناطق ۱ و ۷ گروئن) به ویژه در لبه داخلی سطح مشترک استخوان-ایمپلنت، تغییرات کرنش قابل اغماض است به همین دلیل خطر شل‌شدگی کمتر خواهد بود؛ اما در منطقه ۳ و ۵ گروئن (انتهای ساقه ایمپلنت) مقدار اختلاف کرنش در سطح به مقدار قابل توجه ۱/۶ درصد رسیده که ممکن است باعث کاهش پایداری اولیه در ایمپلنت شود.

تفاوت کرنش بین استخوان و ایمپلنت در لبه خارجی که در شکل ۳ نشان داده شده، در واقع بیانگر این است که بیشترین مقدار در منطقه ۵ گروئن اتفاق می‌افتد؛ اما مقدار اختلاف کرنش ۱۶ برابر کمتر است و بیشینه آن از ۰/۱ درصد فراتر نرفته است. این موضوع بیانگر آن است که خطر شل‌شدگی ایمپلنت در لبه خارجی ناچیز است. این یافته با مطالعات المان محدود انجام شده قبلی مطابقت دارد^(۱۱-۱۲). الشیخ و همکاران در سال ۲۰۰۳، با استفاده از روش المان محدود تنفس‌های مکانیکی وارد بر مفصل مصنوعی ران را در زمین خوردن ناگهانی به طور دینامیکی مدل کردند^(۱۳). لو و همکاران در سال ۲۰۲۰، با اعمال بار استاتیکی به مدلی سه بعدی، قبل و بعد از تعویض مفصل ران، بیان داشتند که تنفس مکانیکی در پخش‌های داخلی و دیستال در مفصل تعویض شده بالاتر است^(۱۴).

با استناد به مقادیر اختلاف کرنش در سطح مشترک، خطر شل‌شدگی در لبه داخلی بیشتر است؛ اما با توجه به شکل ۴ ممکن است تضادهایی به علت مقدار کرنش زیادتر در لبه خارجی به نظر بیاید. لازم به یادآوری است که کانتورهای رنگی نشان داده شده در شکل ۴، کرنش‌های خالص هستند در صورتی که داده‌های نمودارهای شکل ۳ کرنش‌های نسبی بین استخوان و ایمپلنت را نمایندگی می‌کنند. شکل ۴ همچنین نشان می‌دهد که حداکثر تغییر شکل در لحظه تو-آف (پیش از جدا شدن پا از زمین، حدود ۸۵ درصد فاز استنس) در سیکل راه رفتن هنگامی که اندام تحتانی نیروی رانشی را به جلو فراهم می‌کند، ظاهر می‌شود. در توازن با این نتیجه و بر اساس الگوهای توزیع تنفس مکانیکی در شکل ۴ می‌توان نتیجه گرفت که در طول برخورد اولیه تا زمان جدا شدن پا از زمین، تنفس تنها در سطح مشترک توزیع می‌شود ولی در زمان تحمل نیرو، هم مقدار و هم گستره توزیع تنفس به طور چشمگیری افزایش می‌یابد.

در حدود ۵۵ درصد از سیکل راه رفتن، زمانی که سیستم حرکتی آماده فاز سوینگ می‌شود، اغلب عضلات پا در تلاش برای ایجاد نیروی پیش‌رانش (در لحظه تو-آف) هستند. از دیدگاه سینماتیکی، در این لحظه زاویه مفصل ران با رسیدن به بیشترین مقدار استنشن خود باعث ایجاد خمث ترکیبی و گشتاور پیچشی بالایی می‌شود که می‌تواند بازه تغییرات تنفس‌های مکانیکی را تا حدود ۵/۷ درصد افزایش دهد. مقدار تنفس در بافت

نسبت به سه بعدی بوده است^(۲۲). پیشنهاد می‌شود مدلسازی‌های آتی با در نظر گرفتن هندسه‌های سه بعدی به تحلیل چنین مواردی بپردازند. به علاوه، اصطکاک بین استخوان و ایمپلنت در واقعیت، برای همه طول سطح مشترک یکسان نیست اما ناگزیر در این مطالعه ثابت فرض شده است. شرایط مرزی فرض شده در این مدل نیز با ساده‌سازی و احتمال وجود خطا همراه است. بر� استخوان از دیافیز در مدل و درگیر کردن همه درجات آزادی با شرایط واقعی که استخوان از کنبلی‌ها در زانو مهار می‌شود تفاوت دارد. پیشنهاد می‌شود در مطالعه‌های آتی مواردی مانند سه بعدی شدن مدل، پیچیدگی خاصیت مواد و توجه به اثر خستگی مکانیکی به تحلیل اضافه شوند. احتمال شل شدگی با نتایج فعلی تا حدودی محافظه‌کارانه است چرا که در واقعیت هنگام راه رفتمن بار به صورت سیکلی و با فرکانس بالا (دست کم یک هرتز) اعمال می‌شود که ممکن است به تسريع در کاهش پایداری اولیه منجر شود. مطالعات گذشته نشان دادند که یک مفصل تعویض شده ران نرمال عموماً توانایی تحمل یک میلیون سیکل بارگذاری در سال را دارد^(۲۴). گریزا و همکاران در سال ۲۰۰۹، نشان دادند که حتی در شرایطی که ایمپلنت از ناحیه پروگریمال چار شل شدگی شده باشد می‌تواند تا ۵ میلیون سیکل بارگذاری دیگر را تاب آورد^(۲۵). اما مطالعه اخیر بایج و همکاران در سال ۲۰۲۰، بیان داشت که ایمپلنت ران با شل شدگی دیستال تنها حدود ۳۵۰ هزار سیکل بارگذاری را تحمل خواهد کرد^(۲۶). جز آن، از آنجایی که این مطالعه با فرض کاشت بدون سیمان استخوانی بود، مطالعه‌ای دیگر می‌تواند اثر استفاده از سیمان بر توزیع کرنش و تنش مکانیکی در این نوع جراحی را بررسی کند؛ چرا که مطابق نظریه تیر روی بستر الاستیک^۴ یک سازه یا تیر (در اینجا مشابه ساقه ایمپلنت) بر روی بستری الاستیک‌تر جابجایی کمتری خواهد داشت^(۲۷).

نتیجه‌گیری

بیشترین مقدار اختلاف کرنش در پایین‌ترین منطقه ساقه ایمپلنت رخ داده که بیان کننده محل بروز احتمالی جدایش در شل شدگی ایمپلنت است. لبه داخلی سطح مشترک استخوان و ایمپلنت، اختلاف کرنش بیشتری را در سطح مشترک استخوان و ایمپلنت تحمل می‌کند. برخلاف لبه خارجی که تنش مکانیکی در آن فشاری است، تنش مکانیکی در لبه داخلی کششی است که ممکن است باعث کاهش پایداری اولیه و شل شدگی ایمپلنت شود. نتایج این مطالعه پیشنهاد می‌کند راهکارهای مقابله با شل شدگی اعم از بهینه کردن طراحی ایمپلنت یا تغییر در روش‌های جراحی تعویض مفصل باید معطوف به کاهش تنش در بخش داخلی و دیستال ساقه ایمپلنت (منطقه ۵ گروئن) باشد.

منابع

1. Ishida K, Okada K, Hamada Y. Wear and bending strain characteristics of artificial hip joint with non-glued stem and UHMWPE femur. *Precision engineering*. 2005;29(4):396-403.
2. Hatton A, Nevelos J, Nevelos A, Banks R, Fisher J, Ingham E. Alumina-alumina artificial hip joints. Part I: a histological analysis and characterisation of wear debris by laser capture microdissection of tissues retrieved at revision. *Biomaterials*. 2002;23(16):3429-40.
3. Firkins P, Tipper J, Ingham E, Stone M, Farrar R, Fisher J. A novel low wearing differential hardness, ceramic-on-metal hip joint prosthesis. *Journal of biomechanics*. 2001;34(10):1291-8.
4. Bouiadra BB, Belarbi A, Benbarek S, Achour T, Serier B. FE analysis of the behaviour of microcracks in the cement mantle of reconstructed acetabulum in the total hip prosthesis. *Computational Materials Science*. 2007;40(4):485-91.
5. Lannocca M, Varini E, Cappello A, Cristofolini L, Bialoblocka E. Intra-operative evaluation of cementless hip implant stability: A prototype device based on vibration analysis. *Medical engineering & physics*. 2007;29(8):886-94.
6. Kremers HM, Larson DR, Crowson CS, et al. Prevalence of total hip and knee replacement in the United States. *J Bone Joint Surg (Am Vol)*. 2015;97(17):1386-97.
7. Culliford DJ, Maskell J, Beard DJ, Murray DW, Price AJ, Arden NK. Temporal trends in hip and knee replacement in the United Kingdom: 1991 to 2006. *J Bone Joint Surg (Br Vol)*. 2010;92(1):130-5.
8. Beckenbaugh RD, Ilstrup DM. Total hip arthroplasty. The Journal of bone and joint surgery American volume. 1978;60(3):306-13.
9. Maloney WJ, Schmalzried T, Harris WH. Analysis of long-term cemented total hip arthroplasty retrievals. *Clinical Orthopaedics and Related Research®*. 2002;405:70-8.
10. Jasty M, Maloney W, Bragdon C, O'connor D, Haire T, Harris W. The initiation of failure in cemented femoral components of hip arthroplasties. The Journal of bone and joint surgery British volume. 1991;73(4):551-8.
11. Huiskes R, Boeklagen R. Mathematical shape optimization of hip prosthesis design. *Journal of Biomechanics*. 1989;22(8-9):793-804.
12. Katoozian H, Davy DT. Effects of loading conditions and objective function on three-dimensional shape optimization of femoral components of hip endoprostheses. *Medical Engineering & Physics*. 2000;22(4):243-51.
13. Kleemann RU, Heller MO, Stoeckle U, Taylor WR, Duda GN. THA loading arising from increased femoral anteversion and offset may lead to critical cement stresses. *Journal of Orthopaedic Research*. 2003;21(5):767-74.
14. Rowlands A, Duck F, Cunningham J. Bone vibration measurement using ultrasound: Application to detection of hip prosthesis loosening. *Medical engineering & physics*. 2008;30(3):278-84.
15. Kaku N, Tanaka A, Tagomori H, Tsumura H. Finite element analysis of stress distribution in flat and elevated-rim polyethylene acetabular liners. *Clin Orthop Surg*. 2020;12(3):291-7.
16. Abdullah AH, Todo M, Nakashima Y. Stress and damage formation analysis in hip arthroplasties using CT-based finite element method. *Journal of Engineering and Applied Sciences*. 2017;12(10):2715-9.
17. Chethan K, Zuber M, Shenoy S, Kini CR. Static structural analysis of different stem designs used in total hip arthroplasty using finite element method. *Heliyon*. 2019;5(6):e01767.
18. Ismail NF, Shuib S, Yahaya MA, Romli AZ, Shokri AA. Finite element analysis of uncemented total hip replacement: The effect of bone-implant interface. *International Journal of Engineering and Technology (UAE)*. 2018;7(4):230-4.
19. Stolk J, Verdonschot N, Cristofolini L, Toni A, Huiskes R. Finite element and experimental models of cemented hip joint reconstructions can produce similar bone and cement strains in pre-clinical tests. *Journal of Biomechanics*. 2002;35(4):499-510.
20. Peter B, Ramaniraka N, Rakotomanana L, Zambelli P, Pioletti DP. Peri-implant bone remodeling after total hip replacement combined with systemic alendronate treatment: a finite element analysis. *Computer methods in biomechanics and biomedical engineering*. 2004;7(2):73-8.
21. Kennedy F. Biomechanics of the hip and knee: implant wear. *Wear of orthopaedic implants and artificial joints*: Elsevier; 2013. p. 56-92.
22. Shaik S, Bose K, Cherukuri H. A study of durability of hip implants. *Materials & Design*. 2012;42:230-7.
23. El'Sheikh H, MacDonald B, Hashmi M. Finite element simulation of the hip joint during stumbling: a comparison between static and dynamic loading. *Journal of Materials Processing Technology*. 2003;143:249-55.
24. Luo C, Wu X-D, Wan Y, Liao J, Cheng Q, Tian M, et al. Femoral Stress Changes after Total Hip Arthroplasty with the Ribbed Prosthesis: A Finite Element Analysis. *BioMed research international*. 2020;2020.
25. Li J. Development and validation of a finite-element musculoskeletal model incorporating a deformable contact model of the hip joint during gait. *Journal of the Mechanical Behavior of Biomedical Materials*. 2021;113:104136.
26. Todo M. Biomechanical analysis of hip joint arthroplasties using CT-image based finite element method. *Journal of Surgery and Research*. 2018;1(2):34-41.
27. Griza S, Zanon G, Silva E, Bertoni F, Reguly A, Strohaecker T. Design aspects involved in a cemented THA stem failure case. *Engineering Failure Analysis*. 2009;16(1):512-20.
28. Babić M, Verić O, Božić Ž, Sušić A. Finite element modelling and fatigue life assessment of a cemented total hip prosthesis based on 3D scanning. *Engineering Failure Analysis*. 2020;113:104536.
29. Boresi AP, Schmidt RJ, Sidebottom OM. *Advanced mechanics of materials*: Wiley New York; 1985.